

ВЛИЯНИЕ ХИМИЧЕСКОГО И ИЗОТОПИЧЕСКОГО ЗАМЕЩЕНИЯ В КРИСТАЛЛАХ LiH НА ИЗЛУЧЕНИЕ ПОЛЯРИТОНОВ

В.Г.Плеханов

С высоким разрешением выполнены измерения тонкой структуры бесфононной линии излучения свободных экситонов в смешанных кристаллах $\text{LiH}_x\text{F}_{1-x}$ ($0 \leq x \leq 0.025\%$) и $\text{LiH}_x\text{D}_{1-x}$ ($0 \leq x \leq 1$) с чистой поверхностью при низкой температуре. Результаты экспериментов показывают возрастание величины продольно-поперечного расщепления с ростом фтора либо дейтерия в смешанных кристаллах. В случае кристаллов $\text{LiH}_x\text{F}_{1-x}$ наблюдается резкое возгорание интенсивности бесфононной линии излучения свободных экситонов по сравнению с ее LO повторениями. Экспериментальные результаты свидетельствуют о проявлении поляритонных эффектов в смешанных кристаллах, полученных на основе гидрида лития.

Хорошо известно, что при учете светоэкситонного взаимодействия собственными электронными возбуждениями кристалла являются поляритоны (см., например, [1]). Энергетическая протяженность поляритонного резонанса определяется в первую очередь силой осциллятора. Она характеризуется двумя величинами: 1) энергией E_T , соответствующей дну зоны поперечных механических экситонов; 2) энергией дна зоны продольных экситонов E_L . Такой подход позволяет говорить о том, что выше энергии E_L в энергетическом спектре электронных возбуждений имеются две поляритонные ветви — нижняя и верхняя.

Характерной особенностью экспериментального проявления поляритонных эффектов в большинстве неметаллических кристаллов является дублетная форма линии резонансной люминесценции свободных экситонов при низкой температуре (см., например, [2-4]). Тщательные исследования формы бесфононной линии излучения свободных экситонов смешанных кристаллов при низкой температуре привели авторов работы [5] к выводу о проявлении поляритонных эффектов в этих кристаллах.

Настоящее сообщение посвящено первому экспериментальному изучению поляритонных эффектов в экситонных спектрах люминесценции смешанных кристаллов, полученных на базе гидрида лития. Чистые кристаллы гидрида лития — это диэлектрики с $E_g = 4.99$ eV и сильным экситон–фотонным взаимодействием. Это было показано ранее в целом ряде работ (см., например, [6-8]) по тонкой структуре в их спектрах люминесценции и отражения.

Исследуемые в настоящей работе кристаллы $\text{LiH}_x\text{F}_{1-x}$ и $\text{LiH}_x\text{D}_{1-x}$ выращены модифицированным методом Бриджмена–Стокбаргера [9]. Стабильный при комнатной температуре твердый раствор кристаллов $\text{LiH}_x\text{F}_{1-x}$ с однородной структурой образуется только при ограниченной концентрации фтора в гидриде лития [10,11]. Как показывают рентгенографические исследования [12] смешанной системы $\text{LiH}_x\text{D}_{1-x}$, она образует непрерывный ряд твердого раствора. Постоянная решетки этого твердого раствора линейно зависит от концентрации анионов

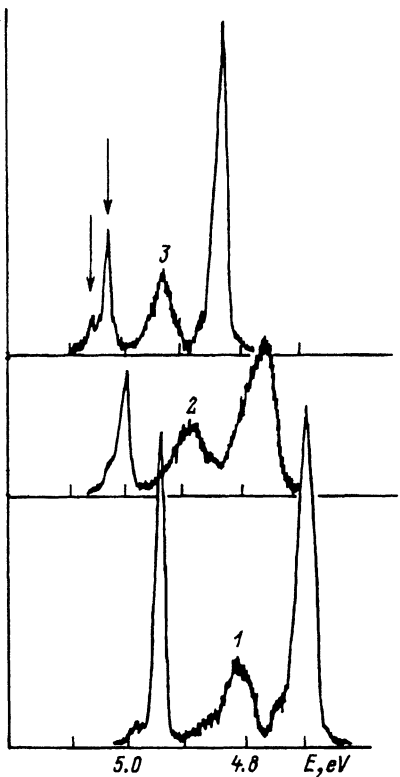


Рис. 1. Спектры излучения кристаллов LiH (1), $\text{LiH}_{0.38}\text{D}_{0.62}$ (2) и LiD (3) при 4.2 K , сколотых в жидком гелии. Стрелками отмечено приблизительное положение нижней и верхней поляритонной ветви.

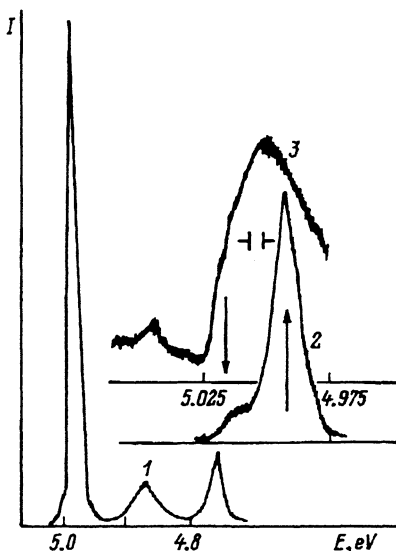


Рис. 2. Спектры фотолюминесценции кристалла $\text{LiH}_x\text{F}_{1-x}$ ($x = 0.02$) (1, 2) и отражения (3) при 4.2 K , сколотого в жидком гелии.

Спектральное разрешение указано для кри-вой 2.

и тем самым подчиняется закону Вегарда. Скол кристаллов осуществлялся в жидком гелии ванны оптического криостата. Эта методика описывалась ранее (см., например, [13]). Используемая спектральная и регистрирующая аппаратура, равно и как источник возбуждения с некогерентным излучением, также описывалась неоднократно (см. [14] и ссылки там). Отметим, что в силу высокой скорости экситонов (мы наблюдали экситоны с кинетической энергией на полтора порядка выше их энергии связи [14]) квантовый выход люминесценции свободных экситонов невысок (по нашим оценкам, порядка нескольких процентов), поэтому для измерения таких сигналов требуется достаточно чувствительная система регистрации сигнала. Добавим, что помимо химического и масс-спектроскопического [10] определения концентрации анионов в твердом растворе состав смешанных кристаллов контролировался также по положению экситонных линий в спектрах отражения [15]).

Спектры фотолюминесценции кристаллов $\text{LiH}_x\text{D}_{1-x}$ и $\text{LiH}_x\text{F}_{1-x}$ с чистой поверхностью представлены на рис. 1, 2, соответственно. Все спектры обладают развитой структурой и состоят из относительно узкой бесфоновой линии и ее пяти LO повторений [13]. Для удобства на-

рис. 1, 2 представлены только линии первого и второго LO повторений. Как легко видеть, в той или иной степени для бесфононной линии во всех спектрах наблюдается некоторая дополнительная структура на коротковолновом спаде ее. Ранее полученные результаты на кристаллах LiH по светоэкситонным эффектам [6-8], а также аналогия с результатами по низкотемпературной люминесценции работы [5] позволяет связать наблюданную структуру бесфононной линии излучения смешанных кристаллов с излучением поляритонов.

В рамках этой концепции следует указать на нелинейное увеличение Δ_{LT} — величины продольно-поперечного расщепления при переходе от чистого LiH к $\text{LiH}_x\text{F}_{1-x}$ и $\text{LiH}_x\text{D}_{1-x}$ кристаллам. Более того, в последнем случае для $x = 0$ (чистый LiD) наблюдается отчетливо выраженная структура бесфононной линии излучения с величиной расщепления ≈ 20 meV. Это приблизительно в полтора раза больше, чем для чистого гидрида лития. Кроме этого, ясно видно уменьшение интенсивности бесфононной линии излучения (точнее, линии излучения с нижней поляритонной ветвью) при переходе от LiH к LiD (нормировка осуществлялась по калиброванному значению интенсивности линии $2LO$ повторения в кристалле LiH). Связано ли это, как и увеличение величины Δ_{LT} при изотопическом замещении, с усилением поляритон-фононного взаимодействия [15] (поскольку изменяется только энергия оптических фононов) или же эти изменения обусловлены другими механизмами, сейчас до конца не ясно. Ответы на эти вопросы требуют дополнительных экспериментальных и теоретических исследований.

Возвращаясь к рис. 2, нельзя не заметить более чем десятикратное превосходство интенсивности бесфононной линии излучения свободных экситонов над интенсивностью линий ее LO повторений. Обращает на себя внимание также малая полуширина этой линии (приблизительно в два раза уже, чем в чистом гидриде лития) при относительно большой протяженности (рис. 2, кривая 2) продольно-поперечного расщепления $\Delta_{LT}(\text{LiH}_x\text{F}_{1-x}) : \Delta_{LT}(\text{LiH}) \approx 2$. Добавим сюда общее возрастание квантового выхода люминесценции свободных экситонов в этих кристаллах по сравнению с чистым LiH — эффект, подмеченный еще в работе [11], однако не получивший тогда должного развития. Учитывая, что приведенные спектры получены от чистой поверхности кристаллов, можно думать, что главной причиной возгорания I_{OLO} может быть заметное уменьшение поверхностных состояний, работающих как центры безызлучательной рекомбинации экситонов. Другими словами, при таком сколе, по-видимому, мы имеем дело с более совершенной и бездислокационной поверхностью, чем при сколе в масляном вакууме, струе горячего газа, воздуха и т.д. Это представляется тем более естественным, так как гидрид лития высокогигроскопический материал. С другой стороны, наблюдаемое возрастание интенсивности бесфононной линии излучения свободных экситонов (поляритонов), кажется, является достаточно общим явлением, поскольку наблюдается не только в полупроводниковых смешанных кристаллах [16], но и в квантовых структурах на их основе [17].

Искренне благодарю А.В.Емельяненко за помощь в измерениях, Ф.Ф.Гаврилова за возможность проведения исследования на кристаллах $\text{LiH}_x\text{F}_{1-x}$ и $\text{LiH}_x\text{D}_{1-x}$.

Список литературы

- [1] Пекар С.И. Кристаллоптика и добавочные световые волны. Киев: Наукова думка, 1982.
- [2] Koteles E.S. Excitons / Ed E.I.Rashba and M.D.Sturge. North Holland, Amsterdam, 1982. P. 83–140.
- [3] Травников В.В., Криволапчук В.В. // ЖЭТФ. 1983. Т. 85. № 6. С. 2087–2106.
- [4] Бродин М.С., Мясников Э.Н., Марисова С.В. Поляритоны в кристаллоптике. Киев: Наукова думка, 1984.
- [5] Mariette H., Marfaing Y., Camassel J. // Proc. 18 Int. Conf. Phys. Semicond. World Science, Singapore, 1987. P. 1405–1409.
- [6] Plekhanov V.G., O'Konnel-Bronin A.A. // Phys. Stat. Sol. (b). 1978. V. 86. N 2. P. K123–K125.
- [7] Plekhanov V.G., Altukhov V.I. // J. Raman Spectr. 1985. V. 16. N 6. P. 358–365.
- [8] Kink R.A., Kink M.F., Soovik T.A. // Nuclear Instruments and Methods in Phys. Res. 1987. V. A261. N 1. P. 138–139.
- [9] Tyutyunnik O.I., Tyutyunnik V.I., Shulgin B.V., Pilipenko G.I., Gavrilov F.F. // J. Cryst. Growth. 1984. V. 68. N 3. P. 741–746.
- [10] Messer Ch., Meller J. // J. Phys. Chem. 1960. V. 64. N 4. P. 503–505; Gilman J.J. // Phys. Rev. Lett. 1971. V. 26. N 10. P. 546–549.
- [11] Бетенекова Т.А. // Автореф. канд. дис. Свердловск, 1977.
- [12] Zimmerman W.B. // Phys. Rev. 1972. V. B5. N 12. P. 4704–4707.
- [13] Plekhanov V.G., Emelyanenko A.V., Grienfelds A.U. // Phys. Lett. 1984. V. A101. N 5. P. 291–294.
- [14] Plekhanov V.G. // Proc. 20 Int. Conf. Phys. Semicond. / Ed. E.M.Anastassakis and J. Joanopoulos, Singopore, 1990. P. 1955–1958.
- [15] Иванов А.Л., Келдыш Л.В. // ЖЭТФ. 1983. Т. 84. N 1. С. 404–421.
- [16] Федоров Д.Л., Пермогоров С.А., Насибов А.С., Шапкин П.В., Коростелин Ю.А. // ФТТ. 1993. Т. 35. Т 8. С. 2142–2153.
- [17] Bagaev V.S., Zaytsev V.V., Kalinin V.V. // Solid State Commun. 1993. V. 88. N 10. P. 777–780.

А/О Элорес
Таллинн

Поступило в Редакцию
25 апреля 1994 г.